

# إستخدام طريقة العناصر المتناهية الممتدة لنمذجة الصفائح الرقيقة ( موحدة/غير موحدة الخواص )

أ. زياد حسن أبو مصطفي  
قسم الهندسة المدنية-كلية الهندسة  
جامعة طرابلس

أ. أبو القاسم محمد العربي  
قسم الهندسة المدنية-كلية الهندسة  
جامعة طرابلس

## الملخص:

تعرف البلاطات الإنشائية على أنها عناصر ذات أسطح مستوية وبسمك صغير مقارنة بأبعادها الأخرى. تطبيقات البلاطات واسعة الانتشار في الهندسة الإنشائية وكأمثلة على ذلك نذكر الصهاريج وهياكل الطائرات والخواصات وأسقف المنشآت والحوائط والأساسات الحصرية. البلاطات يمكن أن تكون موحدة الخواص أو غير موحدة وأحيانا مؤلفة من صفائح مركبة.

انتشر خلال السنوات الأخيرة تحليل الصفائح المركبة المعرضة لأحمال ساكنة أو ديناميكية وتطورت تطبيقات الصفائح المركبة لتشمل البلاطات. هندسيا البلاطات حدودها إما مستقيمة أو منحنية والأحمال الساكنة أو الديناميكية التي تحملها البلاطات غالباً ما تكون عمودية على سطح البلاطة. تصنف البلاطات غالباً من حيث السمك بالبلاطات الرقيقة والبلاطات السمكية. البلاطات الرقيقة مبدئياً عبارة عن عناصر إنشائية مسطحة محاطة بسطحين متوازيين تسمى أوجهه والسطح الأسطواني يسمى حافة أو حد. الأسطح الأسطوانية عمودية على السطح المستوي والمسافة بين السطحين المستويين تسمى سمك البلاطة حيث يعتبر سمك البلاطة صغير إذا ما قورن بأبعاد البلاطة مثل الطول والعرض والقطر.....إلخ.

الدراسة الحالية تبحث في سلوك البلاطات رقيقة السمك لكل من البلاطات موحدة الخواص وغير موحدة الخواص تحت تأثير الأحمال الموزعة بانتظام مع اختلاف في حدود البلاطة. طريقة العناصر المحدودة الممتدة ثلاثية الأبعاد - "Three-dimensional extended finite element method" أو ما يعرف ب(X-FEM) باستخدام برنامج ABAQUSE-CAE تم توظيفها لحساب الترخيم والعزوم للبلاطات ذات الحواف المثبتة تثبيت كامل والحواف المثبتة تثبيت مفصلي آخذين في الاعتبار التغير في نسبة بواسن Poisson's ratio وسمك البلاطة. النتائج المتحصل عليها عددياً وضعت في جداول وقورنت بالحلول الصحيحة (التحليلية) حيث وجد توافق كبير بينهما.

الكلمات المفتاحية: البلاطات الرقيقة؛ امتداد العناصر المحدودة؛ موحدة الخواص؛ غير موحدة الخواص؛ ABAQUSE-CAE.

## مقدمة:

طريقة العناصر المحدودة الممتدة هي طريقة تستعمل لنمذجة عدم الاستمرارية القوية والضعيفة بمعزل عن شبكة العناصر المحدودة باستخدام مقاطع الوحدة لطريقة العناصر المحدودة [1].

أول محاولة لتطوير طريقة العناصر المحدودة الممتدة كان في سنة 1999 عندما قدم كل من Belytschko و Black (1999) [2] الحد الأدنى لإعادة التشبيك (re-meshing) لطريقة العناصر المحدودة لنمو التشققات. بنيت هذه الفكرة بإضافة وظائف تعزيز غير مستمرة إلى تقريبات طريقة العناصر المحدودة لحساب ما يحدث للتشققات. هذه الطريقة تسمح للتشققات أن تتكون عشوائية (arbitrary) خلال الشبكة بالرغم من أنها تحتاج إلى إعادة تكوين للشبكة لتتوافق مع منحنيات وأشكال تكون التشققات.

في سنة 1999، Moes وآخرون [3] طوروا الطريقة وسموها طريقة العناصر المحدودة الممتدة [XFEM]، هذا التطور سمح بتمثيل مستقل وكامل لكل تشقق على الشبكة معتمداً على تعزيزات تقرب من التناسق بين الشكل الهندسي للشق والشبكة.

في سنة 1999، Dolbow [4] أنجز خطوة كبيرة من خلال أطروحة الدكتوراه في جامعة Northwestern التي كانت بعنوان "طريقة العناصر المحدودة الممتدة مع الميكانيكية التطبيقية للتعزيز غير المستمر" كنتيجة لهذا العمل كان هنالك حل للمرونة ثنائية الأبعاد والبلاطات Mindlin-Reissner من خلال استخدام كل من وظيفة القفز ومجالات النهايات غير الواضحة باستخدام طريقة العناصر المحدودة الممتدة "XFEM". أيضا في سنة 2000، Dolbow وآخرون [5] قدموا نظام للنمذجة العشوائية غير المستمرة في هيكل العناصر المحدودة من خلال تعزيز موقعي للإزاحة معتمدين على طريقة الوحدة الجزئية خلال التقريب.

أكثر من ذلك، في سنة 2000 Sukumar وآخرون<sup>[6]</sup> استفاضوا في طريقة "XFEM" لنمذجة الشقوق ذات الثلاثة أبعاد وتطرقوا إلى المواضيع الهندسية المرتبطة بها مع تمثيل الشقوق وتعزيز تقريب العناصر المحدودة.

موضوع آخر درس من قبل Daux وآخرون سنة 2000<sup>[7]</sup> كامتدادات لطريقة XFEM الأصلية. حيث ركزت هذه الدراسة على نمذجة الشقوق المقطعية والمتفرعة العشوائية مع فروع متعددة وفجوات متعددة وشقوق نشأت من الفجوات.

طريقة المجاميع المستوية تطورت بشكل تدريجي لتقدم موقع الشق متضمناً مواقع نهايات الشقوق. في سنة 2001 Stolarska وآخرون<sup>[8]</sup> قدموا طريقة تزاوج طريقة المجاميع المستوية (LSM) مع XFEM لنمذجة نمو الشق. بحلول سنة 2001 Belytschko وآخرون<sup>[9]</sup> قدموا تقنية لنمذجة التقاطعات العشوائية الغير مستمرة في الوظيفة واشتقاقاتها في العناصر المحدودة، في هذه التقنية، التقريب الغير مستمر حدد بدلالة قيم ووظيفة المسافة الموقعة لذلك فأن المجاميع المستوية ممكن أن تستعمل لتحديث موقع عدم الاستمرارية. أيضا جهد آخر عمل من قبل Sukumar وآخرون سنة 2001<sup>[10]</sup> والذين وصفوا فجوات ومحتويات النمذجة من خلال المجاميع المستوية في طريقة العناصر المحدودة الممتدة. في أثناء ذلك سنة 2002 Moes وآخرون<sup>[11]</sup> وGravouil وآخرون<sup>[12]</sup> ناقشوا النموذج الميكانيكي وتحديث مجموعة المستويات لنمو الشقوق ذات الثلاثة أبعاد معتمدين على معادلة Hamilton - Jacobi لتحديث المجاميع المستوية بمعالجة امتداد السرعة للحفاظ على سطح الشقوق القديمة<sup>[13]</sup>.

مؤخراً ظهرت طريقة العناصر المحدودة الممتدة كإجراء رقمي قوى في تحليل مشاكل الشقوق، ولقد أقر بشكل واسع أن هذه الطريقة تسهل نمذجة نمو الشقوق على افتراضات ميكانيكية الكسور المرنة الخطية (LEFM). منذ تقديم هذه الطريقة قبل عقد تقريبا ظهرت امتدادات وتطبيقات في المعلومات العلمية بمساهمات كثيرة رئيسية في XFEM في السنوات الأخيرة.

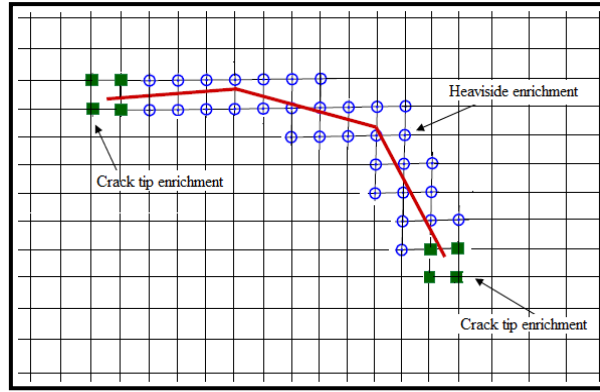
في طريقة العناصر المحدودة الممتدة وظائف إضافية يشار لها بوظائف التعزيز يمكن أن تضاف إلى التقريب الإزاحي على قدر أن يسمح قطع الوحدة ليحقق  $\sum N_I(x) = 1$  حيث  $N_I(x)$  يمثل وظائف شكل العناصر المحدودة. طريقة العناصر المحدودة الممتدة تستخدم وظائف التعزيز هذه كأداة لتقديم السلوك الغير ناعم (non-smooth behavior) لمتغيرات المجال، مثلاً الإجهادات خلال التداخل بين مختلف المواد أو الإزاحة خلال الشقوق. بشكل عام وظائف التعزيز التي قدمت من خلال تقريب الإزاحة هي فقط وصفت لوصول رقم قليل من العناصر متناسب مع الحجم الكلي للمجال. درجات إضافية من الحرية قدمت في كل العناصر في المكان الموجود فيه القطع معتمدة على نوع الوظيفة المختار ومن المحتمل بعض العناصر المتعلقة قد عرفت كعناصر اتحاد.

مقارنة مع طريقة العناصر المحدودة المعيارية (standard finite element method) طريقة العناصر المحدودة الممتدة تقدم فوائد مهمة في النمذجة الرقمية في اتساع الشق. في المفهوم التقليدي لطريقة العناصر المحدودة فإن وجود شق ينمذج من خلال طلب أن الشق يتبع حواف العنصر. وبالعكس فإن هندسة الشقوق في طريقة العناصر المحدودة الممتدة لا تحتاج أن تدعم بحواف العناصر والتي تعطى مرونة وتنوع في النمذجة. الطريقة تعتمد على تعزيز نموذج العناصر المحدودة بدرجات إضافية من الحرية (DOFs) والتي مرتبطة مع النقاط المركزية للعناصر التي حددت للشقوق [14].

في هذا الاتجاه فإن عدم الاستمرارية موجود في النموذج الرقمي من غير تعديل الفصل لأن الشبكة وجدت من غير الأخذ بالاعتبار أن هناك شروخاً، لذلك فقط شبكة واحدة تحتاج لأي طول أو تحديد شق. بالإضافة إلى ذلك، النقاط الرئيسية حول نهايات الشقوق عززت بدرجات إضافية من الحرية (DOFs) مرتبطة مع الوظائف التي تنسخ مجالات LEFM غير الواضحة.

هذا يساعد في نمذجة عدم استمرارية الشقوق بعناصر نهايات الشق ويزيد بشكل رئيسي في دقة حساب معامل كثافة الإجهادات "stress intensity factors (SIFs)".

كما يظهر في الشكل (1) فإن النقاط المركزية الدائرية التي عليها دائرة هي نقاط معززة بدرجتين إضافية من الحرية DOFs (مجموع أربع درجات حرية إضافية لكل نقطة)، بينما النقاط التي حددت بمربع عززت بثمانية درجات إضافية من الحرية (مجموع عشرة درجات إضافية من الحرية لكل نقطة).



شكل 1: العقد المعززة مع هيفيسيدي ووظائف تعزيز نهايات الشق [14]

النقاط التي بها درجتان إضافية من الحرية (واحدة لكل اتجاه منسق) تمتلك وظائف شكلية التي تضرب في الدالة  $H(x)$  (وظيفة لكل درجة عظمى للوحدة والتي إشارتها تتغير خلال الشق ,  $H(x) = \pm 1$ . بينما  $H(x)$  تكون موجبة فوق الشق وتكون سالبة تحت الشق. بهذه الحقيقة الوظيفة تقدم عدم الاستمرارية خلال أوجه الشق ونقاط المركزية التي بها ثمانية درجات

إضافية للحرية تعزز في اتجاهين كارتيزيين بأربعة وظائف لنهاية الشق  $F_\alpha(x)$ . [14]

$$[F_\alpha(r, \theta), \alpha = 1 - 4] = \left[ \sqrt{r} \sin \frac{\theta}{2}, \sqrt{r} \cos \frac{\theta}{2}, \sqrt{r} \sin \frac{\theta}{2} \sin \theta, \sqrt{r} \cos \frac{\theta}{2} \sin \theta \right] \quad (1)$$

عندما يكون  $\theta$ ,  $r$  تمثلان التنسيقات القطبية المحلية والتي عرفت من خلال نهاية الشق. الإزاحة التقريبية لنموذج الشقوق في طريقة العناصر المحدودة الممتدة يمكن أن تكتب ; كما يلي: [14]

$$u_{xfem}(x) = \sum_{i \in I} N_i(x)u_i + \sum_{i \in j} N_i(x)H(x)a_i + \sum_{i \in k} \left[ N_i(x) \sum_{\alpha=1}^4 F_{\alpha}(x)b_{i\alpha} \right] \quad (2)$$

حيث  $I$  تمثل مجموع كل عناصر الارتباط في الشبكة، وأن  $N_i(x)$  هي الوظيفة الشكلية لنقطة الارتباط،  $u_i$  هي الدرجة الإضافية للحرية المعيارية لنقطة الارتباط  $i$  ( $u_i$  تمثل إزاحة نقطة الارتباط لنقاط الارتباط الغير معززة)،  $j$  و  $k$  تتضمن نقاط الارتباط التي عززت بالدالة Heaviside  $H(x)$ , أو وظائف نهاية الشق  $F_{\alpha}(x)$  وبالتماثل فإن  $a_i$ ,  $b_{i\alpha}$  هي درجات الحرية الإضافية المماثلة. في حالة لا يوجد تعزيز فإن المعادلة أعلاه تبسط لتكون تقريبا العناصر المحدودة التقليدي. [14]

$$u_{fe}(x) = P_i N_i(x)u_i \quad (3)$$

الوظائف الإضافية تستخدم في تقريب الإزاحة وتسمى بصورة نمطية بوظائف الإغناء والتقريب تكتب على النحو التالي: [14]

$$u^h(x) = \sum_I N_I(x) [u_I + \sum_j v^j(x)a_I^j] \quad (4)$$

حيث  $u_I$  تمثل درجات الحرية للعناصر المحدودة التقليدية،  $v(x)$  هو وظيفة تعزيز  $j^{\text{th}}$  و  $I$  لدرجة نقطة الارتباط و  $a_I^j$  درجة تعزيز للحرية التي عرفت بالمعادلة (1) بصورة عامة لا تمتلك معنى فيزيائي بل من الممكن أن تعتبر كمقياس لوظائف التعزيزات التي أنتجت تقريب إزاحة صحيح.

المعادلة (4) لا تلبى خاصية الإضافة  $u_I = u^h(x_I)$  بسبب درجات الحرية المعززة، بدلا من ذلك فإن الحسابات الإضافية مطلوبة لحساب الإزاحة الفيزيائية باستخدام المعادلة (4) خاصية التناسب مهمة في تطبيق شروط الاتصال أو الحدود، لذلك توضع وسيلة ذات خبرة لتعزيز شكل الدالة

$$Y_I^J(x) = v^J(x) - v_I^J(x) \quad (5)$$

حيث  $( )^J$  قيمة الدالة المعززة ب  $J^{\text{th}}$  عند نقاط  $I^{\text{th}}$  كوسيلة لتعزيز الدالة الآن نأخذ القيم تساوى صفر لكل النقاط. حل نظام النتائج للمعادلات يحقق  $u_I = u^h(x_I)$  ودرجات الحرية لتعزيز يمكن أن تستعمل كأعمال إضافية مثل التناسب ومرحلة ما بعد المعالجة. [14]

$$u^h(x) = \sum_I N_I(x) [u_I + \sum_j Y_I^J(x) a_I^J] \quad (6)$$

### محاكاة العناصر المحدودة باستخدام برنامج ABAQUS-CAE

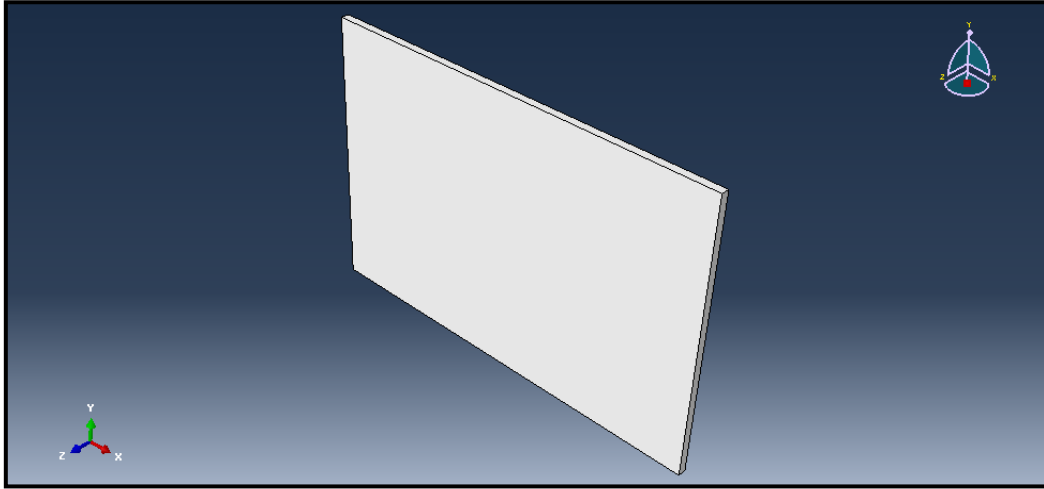
ABAQUS-CAE وهو مختصر ل (Complete ABAQUS Environment)، يوفر واجهة بسيطة متناسقة لخلق وتقديم ورصد وتقييم النتائج من محاكاة أباكوس القياسي ABAQUS/Standard و ABAQUS/Explicit. يقسم ABAQUS/CAE إلى وحدات حيث تعرف كل وحدة جانباً منطقياً لعملية النمذجة. على سبيل المثال تعريف الخصائص الهندسية للشكل، وخواص المواد، وكذلك عمل وتفعيل الشبكة (Meshing). باعتبار أن الحركة تنتقل من وحدة إلى وحدة أخرى فإنه من الممكن بناء أو تكوين النموذج ببرنامج ABAQUS/CAE بإنشاء أو تفعيل ملف الإدخال الذي يقدم إلى ABAQUS/Standard أو ABAQUS/Explicit لتحليل النموذج. يؤدي هذا التحليل للنموذج إرسال معلومات إلى ABAQUS/CAE للسماح برصد التقدم المحرز لهذا العمل، ويقوم ABAQUS/CAE بإنشاء قاعدة بيانات. لتحليل أي نموذج نحتاج إلى المعلومات التالية كحد أدنى:



- شبكة التمثيل الهندسي للنموذج Discretized geometry
  - خواص مقطع العنصر Element section properties
  - بيانات المادة Material data
  - حالة التحميل والشروط الحدية للنموذج Loads and boundary conditions
  - نوع التحليل Analysis type
  - المخرجات المطلوبة Output requests
- في هذا البحث أستخدم برنامج 6.10 ABAQUSE/CAE كأداة للحل وتم مقارنة النتائج المتحصل عليها بالحلول الدقيقة. من أهم مميزات هذا البرنامج هي المرونة في التنفيذ والتعديل وتحليل النموذج والحصول على النتائج. وتعتبر أهم وظيفة لـ ABAQUSE/ CAE بأنه يسمح بإظهار الشروخ (التشققات) بتحديد أو بدون تحديد لبداية موقع الشق.

## نموذج البلاطة Plate Simulation

في هذا البحث، تم محاكاة نموذج بلاطة ثلاثية الأبعاد كما هو موضح بالشكل (2).



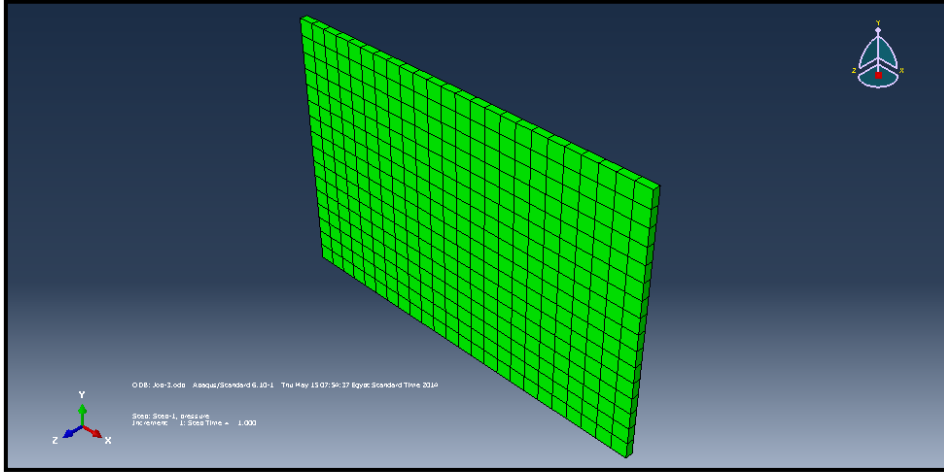
شكل 2: نموذج بلاطة ثلاثية الأبعاد (ABAQUS/CAE)

البلاطات التي تم دراستها تتكون من مادة مرنة موحدة الخواص (Isotropic) أو غير موحدة الخواص (Orthotropic)، سلوك المادة اختير بـ "Maxps Damage" وخواصها كانت حسب ما هو موضح بالجدول (1).

جدول 1: خواص البلاطات المستخدمة في هذه الدراسة

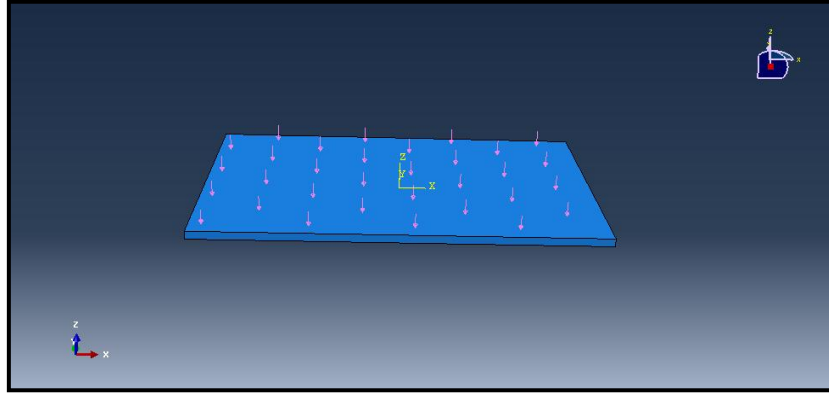
بلاطة غير موحدة الخواص		بلاطة موحدة الخواص	الخاصية
18 GPa	$E_x$	18 GPa	معامل المرونة
12 GPa	$E_y$		
10 KPa		10 KPa	الحمل
0.30	$\nu_x$	0.25, 0.30, 0.35	نسبة بواسون
0.20	$\nu_y$		
0.12 m		0.1, 0.12, 0.15 m	السمك

تم عمل الشبكة للبلاطة حيث كان مجموع العناصر 4096 عنصراً وتم إعتبار شكل العنصر (a quad-dominated structured) شكل (3).



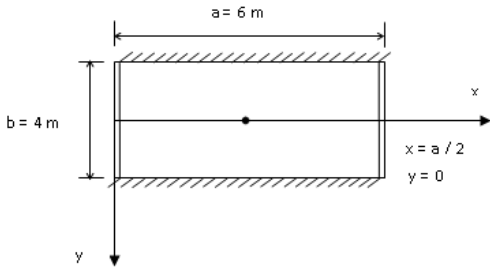
شكل 3: تصميم الشبكة لنموذج بلاطة ثلاثية الأبعاد (ABAQUS/CAE)

تم تحميل البلاطة بحمل على هيئة ضغط موزع بانتظام على كامل السطح العلوي للبلاطة كما بالشكل (4).

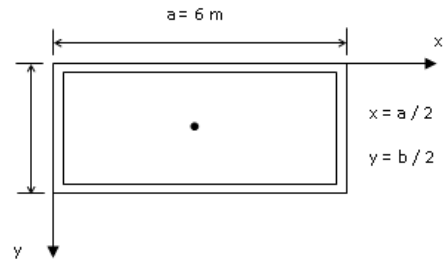


شكل 4: تحميل سطح البلاطة بحمل موزع بانتظام (ABAQUS/CAE)

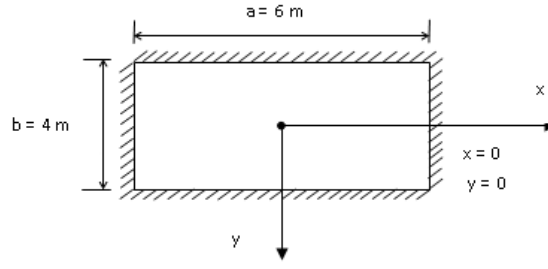
ثلاثة أنواع من الشروط الحدية تم إختيارها في هذه الدراسة وهي بلاطات مثبتة تثبيت مفصلي لكامل البلاطة (Simply supported edges) شكل (5-أ)، بلاطات مثبتة تثبيت مفصلي في الإتجاه القصير وتثبيت كامل في الأتجاه الطويل للبلاطة (Two edges simply supported and the other two clamped) شكل (5-ب)، بلاطات مثبتة تثبيت كامل في جميع الجهات (All edges clamped) شكل (5-ج). النتائج المتحصل عليها من برنامج (ABAQUS/CAE) تمت مقارنتها بالنتائج التحليلية.



(ب) بلاطة مثبتة تثبيت مفصلي في الإتجاه القصير وتثبيت كامل في الإتجاه الطويل، (الحالة الثانية)



(أ) بلاطة مثبتة تثبيت مفصلي في جميع الإتجاهات، (الحالة الأولى)

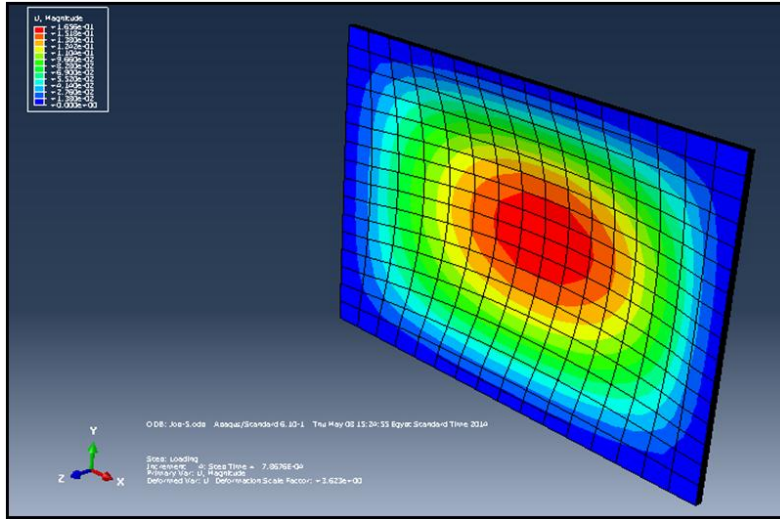


(ج) بلاطة مثبتة تثبيت كامل في جميع الإتجاهات ، (الحالة الثالثة)

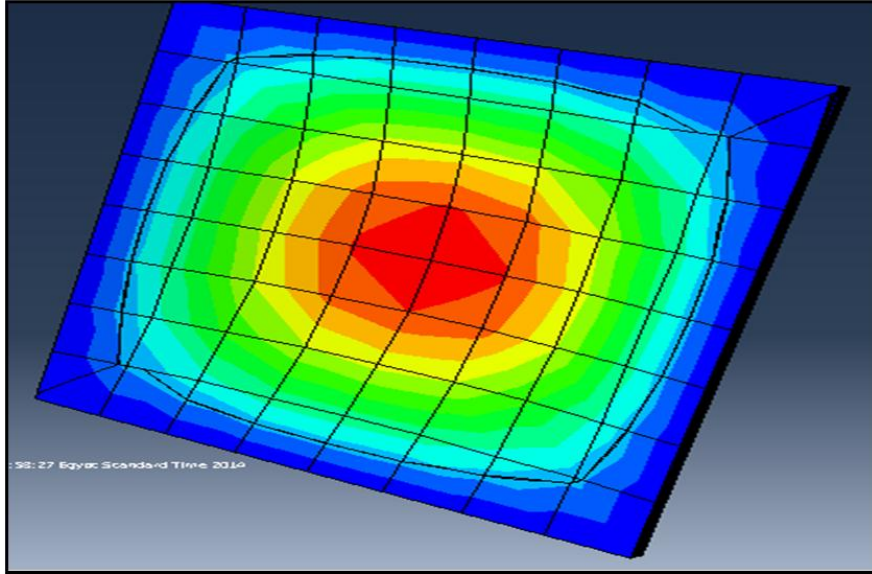
شكل 5: أنواع الشروط الحدية للبلاطات المستخدمة في هذه الدراسة النتائج والمناقشات

■ البلاطات الموحدة الخواص (Isotropic Plates)

الشكل (6) يوضح الترخيم (deflection) في بلاطة مثبتة تثبيت مفصلي من جميع الإتجاهات (simply supported edges)، كما يوضح الشكل (7) نمو إنتشار التشققات (crack growth and propagation) لنفس البلاطة.



شكل 6: الترخيم في بلاطة مثبتة تثبيت مفصلي (ABAQUS/CAE)



شكل 7: إنتشار التشققات في بلاطة مثبتة تثبيت مفصلي (ABAQUS/CAE)

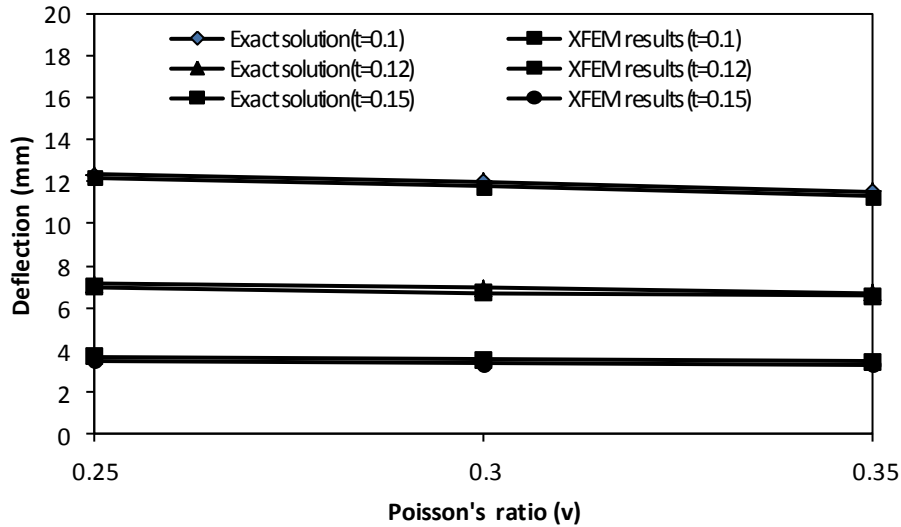
الجدول (2) يوضح قيم الترخيم (deflection) وعزوم الإنحناء في الإتجاهين  $x, y$  عند منتصف البلاطات المثبتة تثبيت مفصلي في جميع الإتجاهات (simply supported edges) مع إختلاف نسبة بواسون (Poisson's ratio) وكذلك تغير في سمك البلاطة.

وفق ما هو موضح بالجدول (2) والأشكال (8,9,10)، نلاحظ ان عزوم الإنحناء في الأتجاهين  $x, y$  تزداد بزيادة نسبة بواسون بينما الترخيم يقل عند زيادة نسبة بواسون. الزيادة في سمك البلاطة لها تأثير كبير في الترخيم، حيث إن مقدار الترخيم يتناقص مع زيادة سمك البلاطة.

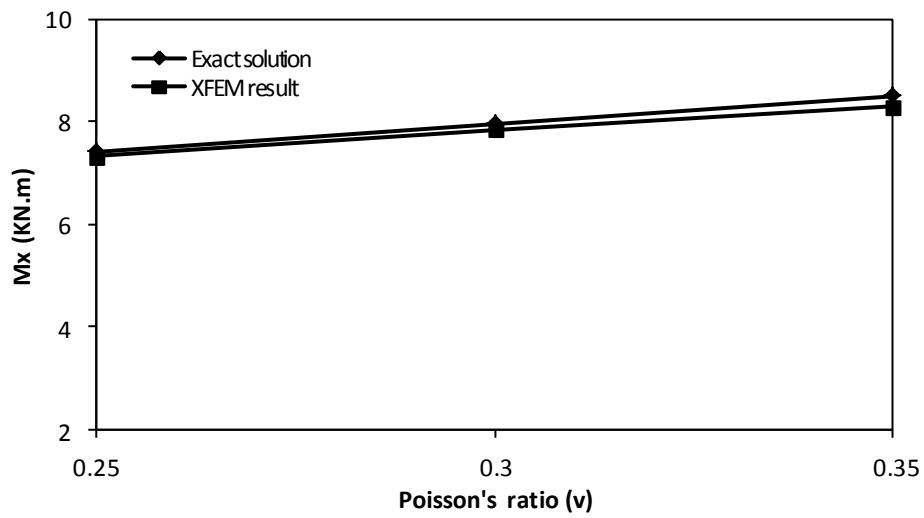
جدول 2: نتائج الترخيم وعزوم الإنحناء في الإتجاهين x,y عند منتصف البلاطات

السماك t (m)	نسبة بواسون $\nu$	بلاطات مثبتة تثبيت مفصلي في جميع الإتجاهات					
		الترخيم Deflection (mm)		العزم في إتجاه Mx (KN.m) x-		العزم في إتجاه My (KN.m) y-	
		Exact <sup>[15,16]</sup>	Numerical*	Exact <sup>[15,16]</sup>	Numerical*	Exact <sup>[15,16]</sup>	Numerical*
0.10	0.25	12.35	12.22	7.43	7.33	12.12	11.04
	0.30	11.99	11.78	7.97	7.85	12.99	12.78
	0.35	11.56	11.29	8.51	8.29	13.86	13.57
0.12	0.25	7.15	6.97	7.43	7.33	12.12	11.05
	0.30	6.94	6.69	7.97	7.84	12.99	12.77
	0.35	6.69	6.58	8.51	8.29	13.86	13.57
0.15	0.25	3.66	3.48	7.43	7.33	12.12	11.04
	0.30	3.55	3.36	7.97	7.84	12.99	12.78
	0.35	3.43	3.27	8.51	8.29	13.86	13.57

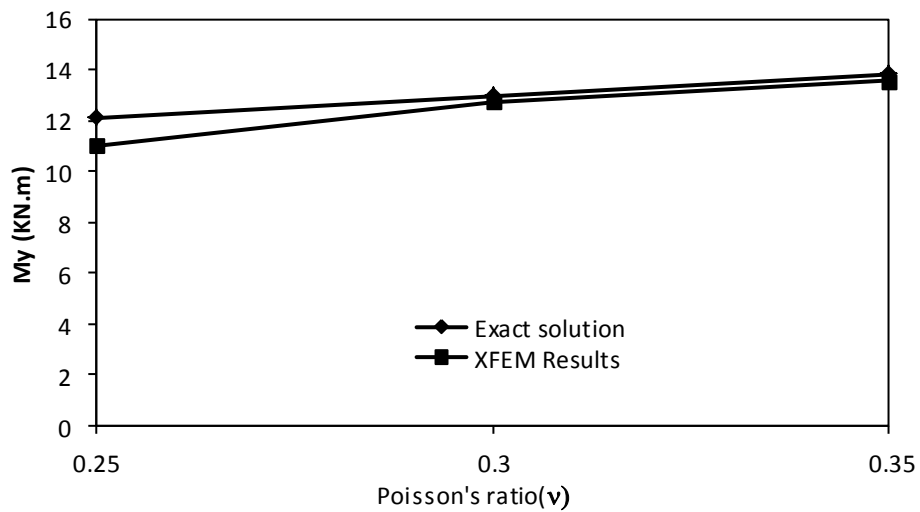
\*النتائج باستخدام ABAQUS-CAE



شكل 8: العلاقة بين الترخيم ونسبة بواسون (ν) مع تغيير في سمك البلاطة



شكل 9: العلاقة بين العزم في الإتجاه  $x$  ( $M_x$ ) ونسبة بواسون ( $\nu$ )



شكل 10: العلاقة بين العزم في الإتجاه  $y$  ( $M_y$ ) ونسبة بواسون ( $\nu$ )

قيم الترخيم وعزوم الإنحناء في الإتجاهين  $x, y$  ( $M_x, M_y$ ) عند منتصف البلاطات المثبتة تثبيت مفصلي في الإتجاه القصير وتثبيت كامل في الإتجاه الطويل مع إختلاف نسبة بواسون وكذلك تغير في سمك البلاطة موضحة في الجدول (3).

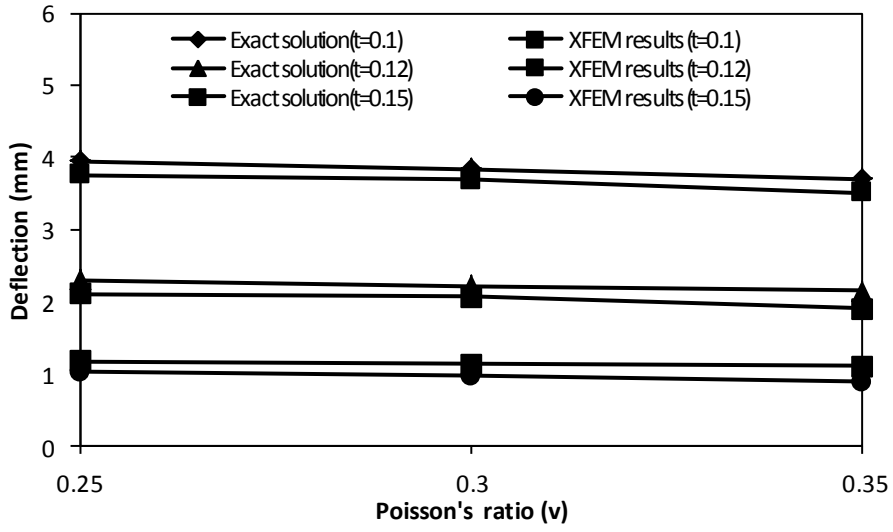
كما هو موضح بالجدول (3) والأشكال (11،12،13) عندما تم تغيير الشروط الحدية للبلاطة بحيث صار الإتجاه الطويل للبلاطة مثبتة تثبيت كامل بينما الإتجاه القصير مثبتة تثبيت مفصلي فإن مقدار الترخيم عند منتصف البلاطة قل بنسبة حوالى 68% مقارنة بالحالة الأولى (تثبيت مفصلي كامل). قيمة عزم الإنحناء في الإتجاه  $x$  كانت حوالى 50% أقل منها في حالة التثبيت المفصلي الكامل للبلاطة. بينما لوحظ أن قيمة عزم الإنحناء في الإتجاه  $y$  كانت حوالى 63% أقل منها في حالة التثبيت المفصلي الكامل للبلاطة.

جدول 3: نتائج الترخيم وعزوم الإنحناء في الإتجاهين  $x, y$  عند منتصف البلاطات

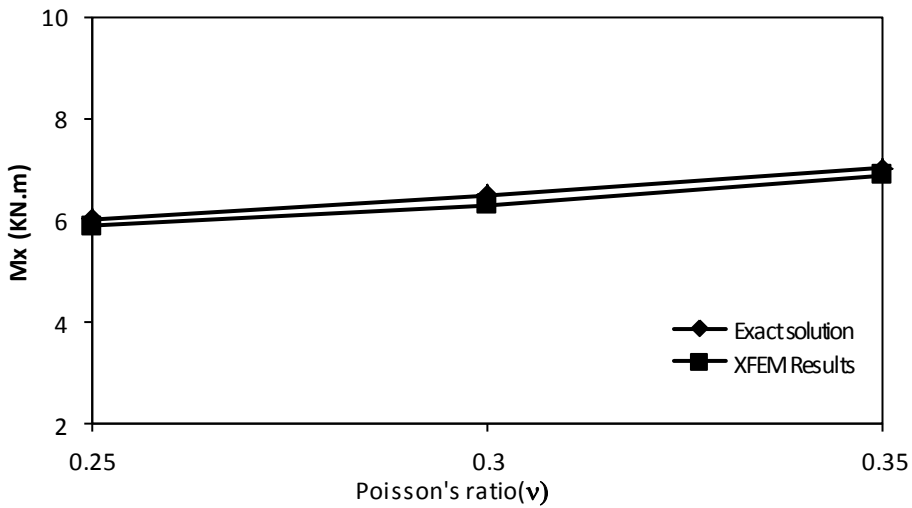
السمك $t$ (m)	نسبة بواسون $\nu$	بلاطة مثبته تثبيت مفصلي في الإتجاه القصير وتثبيت كامل في الإتجاه الطويل					
		الترخيم Deflection (mm)		$M_x$ العزم في إتجاه $x$ (KN.m)		$M_y$ العزم في إتجاه $y$ (KN.m)	
		Exact <sup>[15,16]</sup>	Numerical*	Exact <sup>[15,16]</sup>	Numerical*	Exact <sup>[15,16]</sup>	Numerical*
0.10	0.25	3.95	3.76	6.03	5.88	2.69	2.48
	0.30	3.84	3.68	6.5	6.31	2.90	2.74
	0.35	3.70	3.51	7.03	6.89	3.20	2.98
0.12	0.25	2.29	2.11	6.03	5.88	2.69	2.48
	0.30	2.22	2.06	6.5	6.31	2.90	2.74
	0.35	2.14	1.89	7.03	6.89	3.20	2.98
0.15	0.25	1.17	1.01	6.03	5.88	2.69	2.48
	0.30	1.13	0.96	6.5	6.31	2.90	2.74
	0.35	1.10	0.88	7.03	6.89	3.20	2.98

\*النتائج بإستخدام ABAQUS-CAE

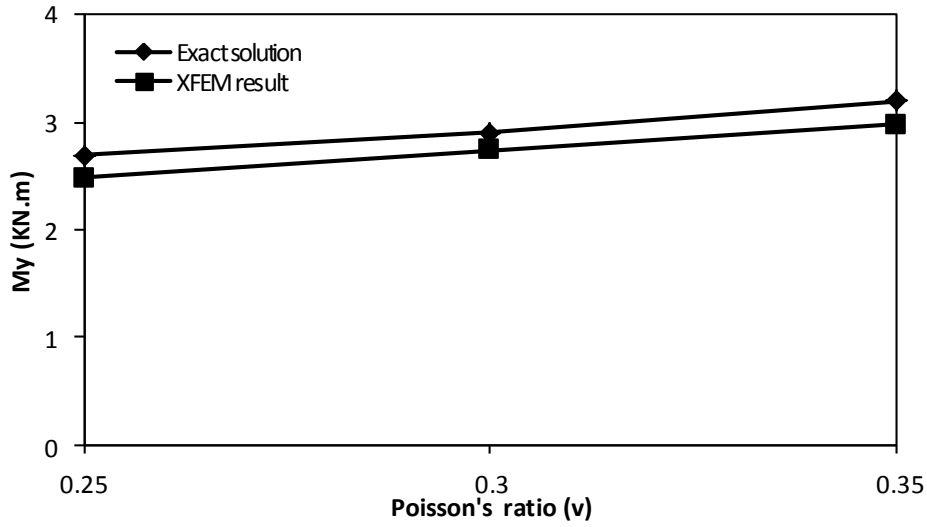




شكل 11: العلاقة بين الترخيم ونسبة بواسون ( $\nu$ ) مع تغيير في سمك البلاطة



شكل 12: العلاقة بين العزم في الإتجاه  $x$  ( $Mx$ ) ونسبة بواسون ( $\nu$ )



شكل 13: العلاقة بين العزم في الإتجاه  $y$  ( $M_y$ ) ونسبة بواسون ( $\nu$ )

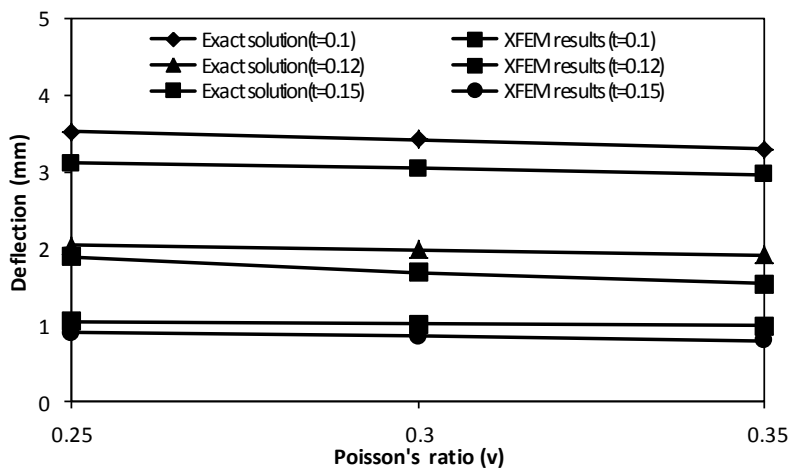
الجدول (4) والأشكال (14،15،16) تبين نتائج الترخيم وعزوم الإنحناء في الإتجاهين  $x,y$  ( $M_x, M_y$ ) عند منتصف البلاطات المثبتة تثبيت كامل في جميع الإتجاهات مع إختلاف نسبة بواسون وتغير في سمك البلاطة ايضاً.

بتغير الشروط الحدية للبلاطة إلى بلاطة مثبتة تثبيت كامل من جميع الإتجاهات، لوحظ نقص كبير في قيم الترخيم والعزوم في الإتجاهين  $x,y$  عند منتصف البلاطة مقارنة بحالتي التثبيت المفصلي الكامل والجزئي حيث انخفضت قيمة الترخيم بنسبة حوالي 71% مقارنة بالحالة الأولى (تثبيت مفصلي كامل). قيمة عزم الإنحناء في الإتجاه  $x$  كانت حوالي 33% أقل منها في حالة التثبيت المفصلي الكامل للبلاطة. بينما لوحظ أن قيمة عزم الإنحناء في الإتجاه  $y$  كانت حوالي 75% أقل منها في حالة التثبيت المفصلي الكامل للبلاطة.

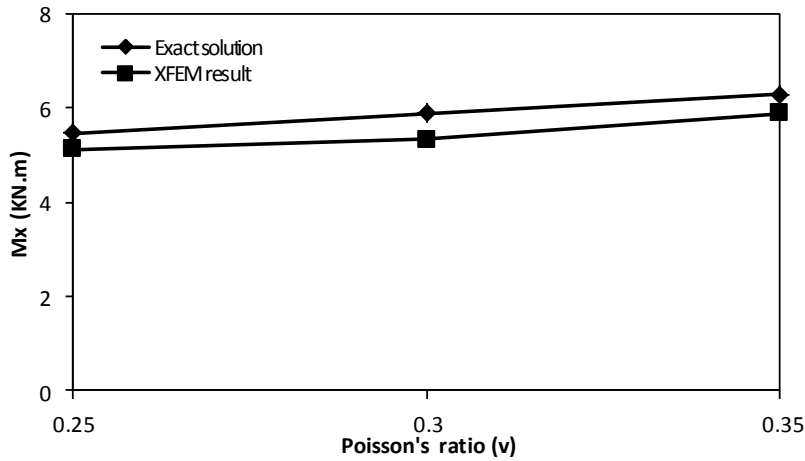
جدول 4: نتائج الترخيم وعزوم الإنحناء في الإتجاهين x,y عند منتصف البلاطات

السك t (m)	نسبة بواسون $\nu$	بلاطة مثبتة تثبيت كامل في جميع الإتجاهات					
		الترخيم Deflection (mm)		Mx (KN.m) العزم في إتجاه-x		My (KN.m) العزم في إتجاه-y	
		Exact <sup>[15,16]</sup> <sub>j</sub>	Numerical*	Exact <sup>[15,16]</sup>	Numerical*	Exact <sup>[15,16]</sup> <sub>j</sub>	Numerical*
0.10	0.25	3.52	3.11	5.47	5.13	2.98	2.65
	0.30	3.42	3.04	5.89	5.34	3.25	2.89
	0.35	3.29	2.96	6.30	5.89	3.49	3.08
0.12	0.25	2.04	1.89	5.47	5.13	2.98	2.65
	0.30	1.98	1.68	5.89	5.34	3.25	2.89
	0.35	1.91	1.53	6.30	5.89	3.49	3.08
0.15	0.25	1.04	0.89	5.47	5.13	2.98	2.65
	0.30	1.01	0.85	5.89	5.34	3.25	2.89
	0.35	0.98	0.79	6.30	5.89	3.49	3.08

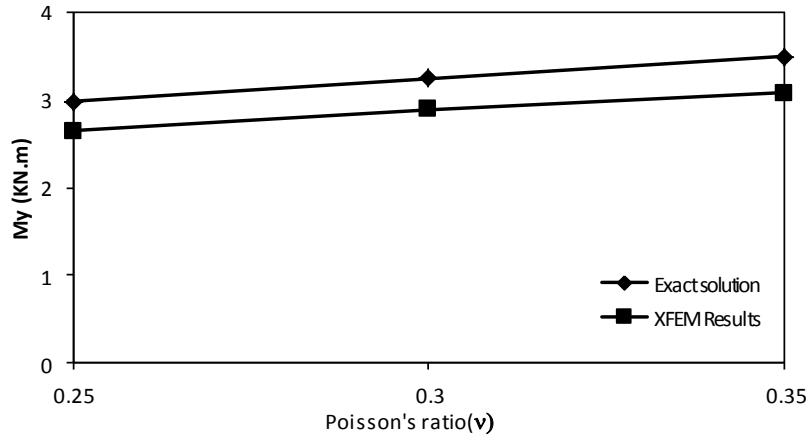
\*النتائج باستخدام ABAQUS-CAE



شكل 14: العلاقة بين الترخيم ونسبة بواسون (ν) مع تغيير في سمك البلاطة



شكل 15: العلاقة بين العزم في الإتجاه  $x$  ( $M_x$ ) ونسبة بواسون ( $\nu$ )



شكل 16: العلاقة بين العزم في الإتجاه  $y$  ( $M_y$ ) ونسبة بواسون ( $\nu$ )

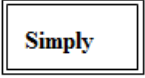

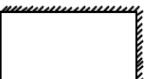
#### ▪ البلاطات غير الموحدة الخواص (Orthotropic Plates)

في هذه الورقة، تم دراسة البلاطات غير الموحدة الخواص لنفس الشروط الحدية الثلاث التي تم تطبيقها في البلاطات الموحدة الخواص. تم إستخدام حالة واحدة فقط لنسبة بواسون حيث كانت  $\nu_x = 0.3$  و  $\nu_y = 0.2$  والخواص الأخرى حسب ما هو موضح بالجدول (1).

بمقارنة نتائج الترخيم في البلاطات غير الموحدة الخواص لحالات الشروط الحديدية الثلاثة (جدول 5) مع نتائج الترخيم للبلاطات الموحدة الخواص لنفس الشروط الحديدية (الجدول 4،3،2) عندما كانت نسبة بواسون  $(\nu_x = 0.3)$  نلاحظ بأن قيمة الترخيم في حالة البلاطات غير الموحدة الخواص أكبر منها في حالة البلاطات الموحدة الخواص ويرجع ذلك لأن نسبة بواسون في الإتجاه  $y$  في حالة البلاطات الغير موحدة الخواص  $(\nu_y = 0.2)$  أقل من النسبة المستخدمة في حالة البلاطات الموحدة الخواص  $(\nu = 0.3)$ .

جدول 5: نتائج الترخيم وعزوم الإنحناء في الإتجاهين  $x, y$  عند المنتصف لبلاطة غير

#### موحدة الخواص

الشروط الحديدية	بلاطة غير موحدة الخواص $(\nu_x = 0.3, \nu_y = 0.2 \text{ \& } t = 0.12 \text{ m})$					
	الترخيم (mm)		العزم في إتجاه $x$ $M_x$ (KN.m)		العزم في إتجاه $y$ $M_y$ (KN.m)	
	Exact <sup>[15,16]</sup>	Numerical*	Exact <sup>[15,16]</sup>	Numerical*	Exact <sup>[15,16]</sup>	Numerical*
	9.0	8.35	8.9	8.52	11.3	10.63
	3.39	3.07	3.81	3.68	6.10	5.89
	2.80	2.59	3.40	3.27	5.20	4.79

\*النتائج باستخدام ABAQUS-CAE

## الإستنتاجات

- من النتائج التي تم الحصول عليها في هذا البحث تم الوصول إلى الإستنتاجات التالية:
- عزوم الإنحناء في الاتجاهين  $x, y$  تزداد بزيادة نسبة بواسن بينما الترخيم يقل عند زيادة نسبة بواسن.
  - الزيادة في سمك البلاطة لها تأثير كبير في الترخيم حيث أن مقدار الترخيم يتناقص مع زيادة سمك البلاطة.
  - التغيير في الشروط الحدية للبلاطة أظهر تأثيراً مهماً في نتائج الترخيم وكذلك نتائج العزوم في الاتجاهين  $x, y$ ، فمثلاً عندما تم تغيير الشروط الحدية بحيث صار الإتجاه الطويل للبلاطة مثبت تثبتت كامل بينما الإتجاه القصير مثبت تثبتت مفصلي، فإن مقدار الترخيم عند منتصف البلاطة قل بنسبة حوالى 68% مقارنة بالحالة الأولى (تثبيت مفصلي كامل).
  - الحالة الثانية التي كان فيها الإتجاه الطويل للبلاطة مثبت تثبتت كاملاً بينما الإتجاه القصير مثبت تثبتت مفصلي فإن قيمة عزم الإنحناء في الإتجاه  $x$  كانت حوالى 50% أقل مقارنة بالحالة الأولى (التثبيت المفصلي الكامل للبلاطة).
  - الشروط الحدية تلعب دور مهم في نتائج الترخيم وكذلك العزوم، حيث لوحظ بزيادة درجة التثبيت يقل الترخيم والعزوم.
  - زيادة سمك البلاطة له تأثير عكسي على الترخيم (إيجابي).
  - برنامج ABAQUS-CAE أثبت وبشكل كبير القدرة في نمذجة البلاطات ثلاثية الأبعاد والدقة العالية في النتائج.

## **References:**

- [1] Matthew J. P., Nam-Ho Kim; and Timothy Davis “Reanalysis of the Extended Finite Element Method for Crack Initiation and Propagation” 2010 AIAA SDM Student Symposium.
- [2] Belytschko T, Black T. “Elastic Crack Growth in Finite Elements with Minimal Remeshing” International Journal for Numerical Methods in Engineering 1990; 45(5):601– 620.
- [3] Moës N., Dolbow J., & Belytschko T. “A Finite Element Method for Crack Growth without Remeshing,” International Journal for Numerical Methods in Engineering 1999; 46(1), 131–150.
- [4] Dolbow J.E. “ An Extended Finite Element Method with Discontinuous Enrichment for Applied Mechanics” PhD thesis, Northwestern University, Evanston, Illinois, December 1999.
- [5] Dolbow, J., Moës N., & Belytschko T. “Discontinuous Enrichment in Finite Elements with a Partition of Unity Method,” Finite Elements in Analysis and Design, 2000; 36(3–4), 235–260.
- [6] Sukumar N., Moës N., Moran B. and Belytschko T. “Extended finite element method for three-dimensional crack modelling” International Journal for Numerical Methods in Engineering [Volume 48, Issue 11](#), pages 1549–1570, 20 August 2000
- [7] Daux, C., N. Moës, J. Dolbow, N. Sukumar, & T. Belytschko “Arbitrary Branched and Intersecting Cracks with the Extended Finite Element Method,” International Journal for Numerical Methods in Engineering, 2000; 48(12), 1741–1760.
- [8] Stolarska M., Chopp D.L., Moës N., and Belytschko T. “Modelling crack growth by level sets in the extended finite element method” International Journal for Numerical Methods in Engineering [Volume 51, Issue 8](#), pages 943–960, 20 July 2001.

- [9] Belytschko T., Moës N., Usui S., and Parim C. “Arbitrary discontinuities in finite elements” International Journal for Numerical Methods in Engineering 2001.
- [10] Sukumar N., Chopp D.L, Moës N., Belytschko T. “[Modeling holes and inclusions by level sets in the extended finite-element method](#)” Computer methods in applied mechanics and engineering 2001; 190 (46), 6183-6200.
- [11] Moës N., Gravouil A., Belytschko T. “Non-planar 3D crack growth by the extended finite element and level sets”—Part I: Mechanical model. Int. J. Numer. Meth. Engng 2002; 53:2549–2568.
- [12] Gravouil A., Moës N., Belytschko T. “Non-planar 3D crack growth by the extended finite element and level sets”—Part II: Level set update. Int. J. Numer. Meth. Engng 2002; 53:2569–2586
- [13] Moës N., Sukumar N., Moran N., and Belytschko T., "An Extended Finite Element Method (X-FEM) for Two- and Three-Dimensional Crack Modeling," in ECCOMAS 2000, Barcelona, Spain, September 11–14, 2000.
- [14] Giner E., Sukumar N., Tarancón J. E. and Fuenmayor F. J."An Abaqus Implementation of the Extended Finite Element Method," Engineering Fracture Mechanics, 2009; Vol. 76, Number 3, pp. 347–368.
- [15] Timoshenko, S. P. and Woinowsky-Krieger, S., *Theory of plates and shells*, Second Edition, McGraw-Hill, 1981.
- [16] Abu Mustafa, Z.H., Analysis of orthotropic plates using finite difference method, M.Sc. Thesis, El-Fateh university civil engineering department, Spring 2001.